

名古屋大学 正会員 田辺忠顯
電力中央研究所 正会員 山川秀次

1. 従来、コンクリートダムの熱応力制御の一手法としてパイアクーリングが行われているが、近年はダムに限らず、重要なマスコンクリート工事にクーリング手法が採用される。例えば、多度津に建設された原子力工学試験センターの巨大な基礎マット工事は、その代表例であつて、今後重要なマスコンクリート工事で、かつ富配合のものが導入され、クーリングによる熱応力制御は必要になると思われる。

クーリングを行う場合には、配管網のレイアウト、管径、クーリング水の流速を適切に定める必要があるが、そのためにはコンクリート中に配置された配管網から、クーリング水を通して、いかに熱が除去されるか解析を行わなくてはならない。現在のダムの設計では、米国Boulderダムの建設当時に開発された手法を用いているが、この手法については、以下の問題点がある。即ち、仮定が多くて実際のシミュレーションの精度が明らかでない事、例えは(i) クーリングパイアの有効領域を同一半径の円にとって解析するが、パイアが何往復もして連続しているため、一断面中の各パイアの水温は各パイア毎に異なり、流れの場としての有効領域が円一半径の円形でもない事、(ii) 10°Cと水との温度境界を固定温度境界として取っているが、実際には熱伝達境界である事、(iii) 10°C周囲の熱伝導場を一向向だけの直線として取り扱っているが、実際は三次元熱伝導場である事等である。また、コンクリートの発熱過程を考慮されていない。勿論これらは欠点は、計算機の発達していくにつれて当時としては止め得ないことであった。本報告は上記の問題点を解決するために行なった研究、即ち、コンクリートの非定常熱伝導場を考慮したクーリング効果を三次元問題として取り扱い支配方程式を導いた。

2. クーリング効果の支配方程式

図-1において、直交デカルト座標(x, y, z)、(ξ, η, ζ)の他にパイアに沿って局所座標 s をとる。コンクリートの密度、比熱を ρ_c 、 C_c 、熱伝導率を k_c とする。熱伝導率の異方性は考慮しない。熱伝導方程式として、

$$k_c \left(\frac{\partial^2 T_c}{\partial x^2} + \frac{\partial^2 T_c}{\partial y^2} + \frac{\partial^2 T_c}{\partial z^2} \right) + q_I + q_{II} = \rho_c C_c \frac{\partial T_c}{\partial t} \quad \dots \dots \dots \quad (1)$$

ここで T_c : コンクリートの温度、 q_I : 10°C に吸収される熱量を負の熱源と考えてその熱吸収率、 q_{II} : コンクリートの内部発熱率

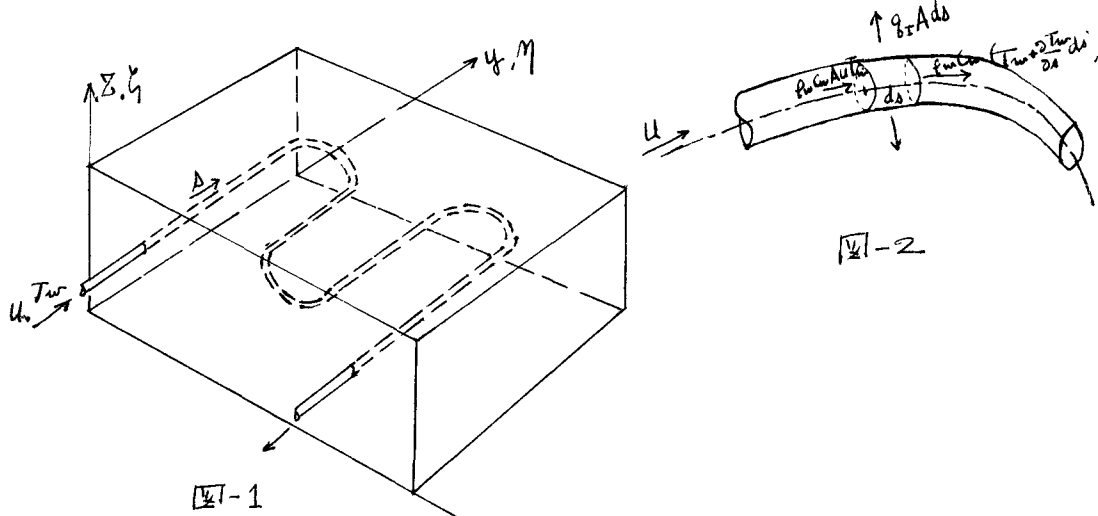
(1)式の $t=0$ におけるLaplace変換をとると、

$$\frac{\partial^2 \bar{T}_c}{\partial x^2} + \frac{\partial^2 \bar{T}_c}{\partial y^2} + \frac{\partial^2 \bar{T}_c}{\partial z^2} + \frac{1}{k_c} (\bar{q}_I + \bar{q}_{II}) = \frac{\rho_c C_c}{k_c} (\bar{\rho} \bar{T}_c - (T_c)_{t=0}) \quad \dots \dots \dots \quad (2)$$

$(T_c)_{t=0}=0$ においても一般性を失なわない。 (2)式をみたすオイレンのGreen's functionを得る。

$$\nabla^2 G_1 - \frac{P_c C_c}{K_c} p G_1 = -\delta(x-\xi)\delta(y-\eta)\delta(z-\zeta) \dots \quad (3)$$

境界条件として、 $G_1|_{S_1} = 0$ 、すなは $0 \leq x \leq a$, $0 \leq y \leq b$, $0 \leq z \leq c$ で表わせるエンタリートプロックの表面である。



Diracの方程式を第一近似で表わし、Green's functionを(4)式のように展開すると、 $g_{mn\epsilon}$ が(5)式のように求まる。

$$G_1(x, y, z; \xi, \eta, \zeta) = \sum_{m, n, \epsilon} g_{mn\epsilon} \sin \frac{m\pi x}{a} \sin \frac{n\pi y}{b} \sin \frac{\epsilon\pi z}{c} \dots \quad (4)$$

$$g_{mn\epsilon} = \frac{8}{abc} \cdot \frac{\sin \frac{m\pi \xi}{a} \sin \frac{n\pi \eta}{b} \sin \frac{\epsilon\pi \zeta}{c}}{\left(\frac{m\pi}{a}\right)^2 + \left(\frac{n\pi}{b}\right)^2 + \left(\frac{\epsilon\pi}{c}\right)^2 + \frac{P_c C_c k}{K_c}} \dots \quad (5)$$

A. エンタリートプロック表面で $T_c = f(\xi, \eta, \zeta)$ であるとするとき、境界条件を付した(2)式を解いたお解が次のようになります。

$$\bar{T}_c = - \int_S \frac{1}{p} f(\xi, \eta, \zeta) \frac{\partial G_1}{\partial n_{\xi, \eta, \zeta}} dS_{\xi, \eta, \zeta} + \int_V \frac{1}{K_c} (\bar{g}_I + \bar{g}_{II}) G_1 dV_{\xi, \eta, \zeta} \dots \quad (6)$$

図-2のワーリングパインの熱平衡から、木温の70°Cと110°C周囲のコンクリート温度の70°Cと110°Cの熱伝導率 λ は、 $\bar{g}_I = \frac{2h}{r_0} (\bar{T}_w - \bar{T}_c)$ ただし h : 热伝導率、 r_0 : 110°Cの半径である。かく、 $U \frac{\partial T_w}{\partial x} + \bar{g}_I / P_c C_w = -\frac{\partial T_w}{\partial x}$ (7)

(7)式を70°Cと110°Cの \bar{T}_w を、 \bar{g}_I を表す式に代入すると最終的に \bar{g}_I は未知数である充てん微積分式が次のようになります。

$$\begin{aligned} & \frac{U r_0}{2h} \frac{\partial \bar{g}_I}{\partial x} - U \frac{\partial}{\partial x} \int_S \frac{1}{p} f(\xi, \eta, \zeta) \frac{\partial G_1}{\partial n_{\xi, \eta, \zeta}} dS_{\xi, \eta, \zeta} + U \frac{\partial}{\partial x} \int_V \frac{1}{K_c} (\bar{g}_I + \bar{g}_{II}) G_1 dV_{\xi, \eta, \zeta} + \left(\frac{1}{P_c C_w} + \frac{U r_0}{2h} \right) \bar{g}_I \\ & + P \int_V \frac{1}{K_c} (\bar{g}_I + \bar{g}_{II}) G_1 dV_{\xi, \eta, \zeta} - \int_S f(\xi, \eta, \zeta) \left(\frac{\partial G_1}{\partial n_{\xi, \eta, \zeta}} \right)_{x=10, y=0} dS_{\xi, \eta, \zeta} - (T_w)_{x=0} = 0 \end{aligned}$$